

## "ОГНЕННЫЙ ШАР" СВЕТОВОГО ПРОБОЯ В ФОКУСЕ ЛУЧА ЛАЗЕРА

*Г.А.Аскарьян, М.С.Рабинович, М.М.Савченко, В.К.Степанов*

Известно, что световой пробой газа в фокусе луча лазера (см. обзор [1]) имеет взрывной характер из-за малого времени и большой концентрации энергии поглощенного света, причем возникающая ударная волна достаточно хорошо описывается решениями случая так называемого сильного взрыва.

В данной статье показано, что световой искре присуще и другое характерное для сильного высокотемпературного взрыва явление – так называемый "огненный шар" (см., например, [2]) – сильно ионизованная область, от которой отделяется и уходит вперед ударная волна, когда ее ионизующее действие заметно ослабевает. Огненный шар (ОШ) создается ударной волной в тот период, когда она оказывала большое ионизирующее действие (на первой стадии за счет фотоионизации фронта ОШ может опережать фронт ударной волны). Известны следующие полуэмпирические соотношения [2], характеризующие ОШ в зависимости от энерговклада. Радиус ОШ в момент отрыва ударной волны  $R_{\text{ОШ}} = AE^{2/5}$ , где  $A \approx 3 \cdot 10^3 \text{ см}/(\text{км})^{2/5}$ , время до отрыва, закон изменения радиуса со временем, максимальный размер ОШ и время жизни.

В нашем случае микровзрыв создавался световым пробоем воздуха в фокусе луча лазера с модулированной добротностью, дающей вспышку с энергией 1 дж за время 30 нсек. Объем, занимаемый концентрированной плазмой, исследовался по возмущению внешнего магнитного поля.

Объем начального выделения энергии имел вытянутую форму, так как объем области фокуса имел продольный размер  $z_f$  в несколько раз больше поперечного радиуса  $\rho_f$  ( $\rho_f/z_f \approx d/4f$ , где диаметр луча на линзе  $d \approx 1 \text{ см}$  и фокусное расстояние линзы  $f \geq 5 \text{ см}$ ). Объем "огненного облака" моделировался сфероидом с полуосами  $a$  и  $b$ , причем поперечная полуось  $b$  была больше  $\rho_f$ , так как разлет происходил с большими скоростями. Эксперимент показал, что магнитный момент нарастает за вре-

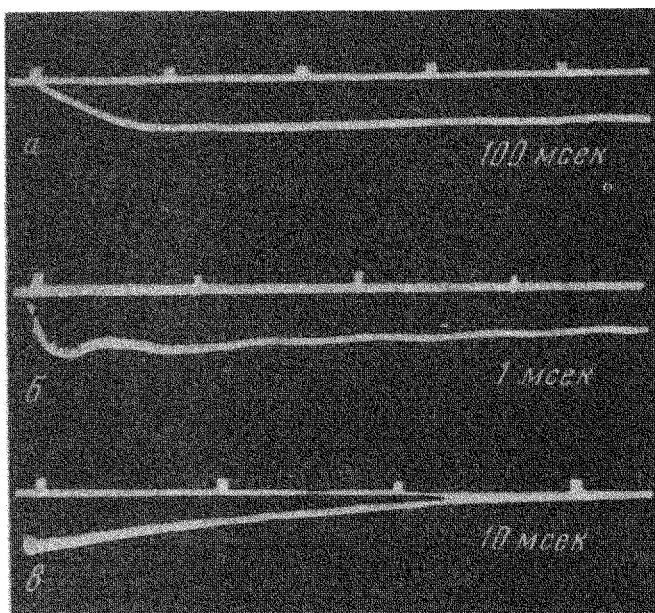


Рис.1

мя порядка ста наносек (см. рис.1), что в несколько раз превышает длительность вклада энергии света, а отношение магнитного момента к внешнему магнитному полю  $M/H_0 \approx 10^{-5} \text{ см}^3$ . Можно оценить эффективный объем вытеснения поля, с помощью выражения для магнитного момента сверхпроводящего сфероида во внешнем магнитном поле  $M \approx -V H_0 / 4\pi(1-n) \approx -V H_0 / 4\pi$  (так как фактор размагничивания  $n \ll 1$  для вытянутого сфероида), т.е.  $V_{\text{эфф}} \approx 4\pi M/H_0 \approx 10^{-4} \text{ см}^3$ .

Сравним этот объем с объемом ОШ в момент отрыва от него ударной волны, используя приведенную выше полуэмпирическую формулу для  $R_{\text{ощ}}$  сферического взрыва. Объем

$$V_{\text{ош}} \approx \frac{4\pi}{3} R_{\text{ош}}^3 \approx 4 A^3 E^{6/5} \approx 10^{-4} \text{ см}^3$$

для  $E = 1 \text{ дж} \approx 3 \cdot 10^{-13} \text{ км}$ . Таким образом, объем вытесненного магнитного поля совпадает по порядку величины с объемом ОШ в момент отрыва от него ударной волны, что можно объяснить резким уменьшением ионизующего действия проводимости и диамагнетизма фронта самой ударной волны после отрыва от ОШ.

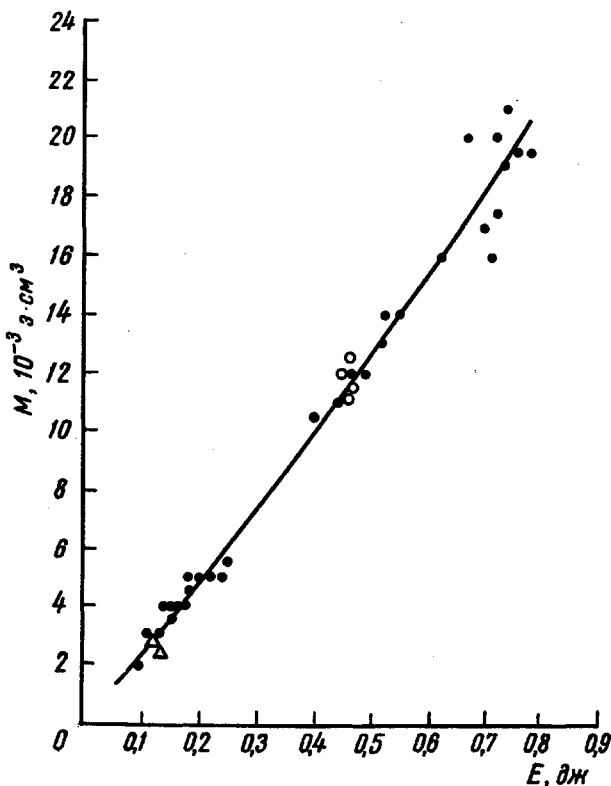


Рис.2

Оценим скорости движения вещества в момент отрыва ударной волны, используя сначала решение [2] для сильного точечного взрыва  $R(t) \approx \sqrt[5]{(E/\rho_0)^{1/5} t^{2/5}}$  и предполагая, что отрыв происходит при  $R = C_{\text{кр}}$  — критической скорости, при которой резко падает ионизация. Тогда время отрыва  $t_{\text{кр}} \approx (E/\rho_0 C_{\text{кр}}^5)^{1/3}$ , и используя данные [2]  $t_{\text{кр}} \approx 10 \text{ мсек}$  при  $E \approx 20 \text{ км}$  получим  $C_{\text{кр}} \approx 10^6 \text{ см/сек}$ .

Используя решение для цилиндрической ударной волны  $R^2 \approx (E/\rho_0 l)^{1/2} t$  получим для момента времени отрыва  $t_{\text{кр}} \approx (E/\rho_0 l)^{1/2} (l/C_{\text{кр}}^2)$  для нашего случая  $E \approx 1 \text{ дж}$ ;  $\rho_0 \approx 10^{-3} \text{ г/см}^3$ ; при длине  $l \approx 2a \approx 0,1 \text{ см}$  и  $C_{\text{кр}} \approx 10^6 \text{ см/сек}$  получим  $t_{\text{кр}} \approx 10^{-7} \text{ сек}$ , что близко к времени нарастания магнитного момента (см.рис.1), где приведен сигнал, пропорциональный  $M$  на трех раз-

вертках с метками времени 100 нсек (а); 1 мксек (б), 10 мксек (в);

Магнитный момент "огненного облака" равен

$$M = -VH/4\pi \approx ab^2 H_0/3 \approx -IR_{kp}^2 H_0/6,$$

но  $R_{kp}^2 \approx (E/\rho_0 I)/C_{kp}^2$ , поэтому  $M \approx -EH_0/6\rho_0 C_{kp}^2 \sim E/\rho_0$  в пренебреже-

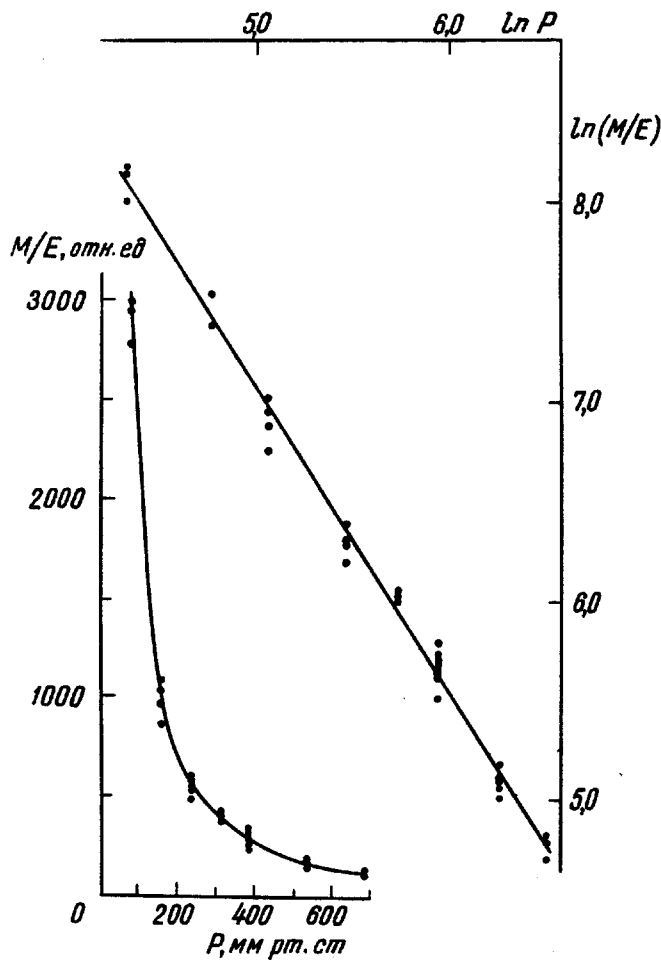


Рис.3

нии слабой возможной зависимостью  $C_{kp}$  от некоторых величин. (Эту зависимость для случая вытеснения магнитного поля можно оценить из условия равенства скорости расширения  $C_{kp}$  скорости проникания магнитного поля  $v_H \approx c^2/4\pi\sigma\delta$ ; где  $\sigma$  — проводимость, и  $\delta$  — толщина слоя проникания. Для  $\sigma \approx T_{kp}^{3/2} \approx R_{kp}^3$  и  $\delta \approx aR_{kp}$  получим  $C_{kp} \approx B/R_{kp}^{1/4}$ . Это даст зависимость  $M \approx E^{4/3}/\rho_0^{4/3}I^{1/3}$ .)

На рис.2 приведена экспериментально полученная зависимость  $M$ , от выделившейся в искре энергии  $E$ , которая измерялась по разности показаний двух калориметров, измерявших определенную долю от падающей и прошедшей световой энергии. Полученная зависимость  $M(E)$  близка к линейной. На рис.3 приведена зависимость  $(M/E)(P_0)$ . Эта зависимость близка к обратной.

В заключение приведем сравнение "времени жизни" ОШ  $T_{\text{ОШ}} \approx BE^{1/2}$ , где  $B \approx 10 \text{ сек}/(\text{км})^{1/2}$  [2] с "временем жизни" магнитного момента. Для вклада  $E \approx 1 \text{ дж}$  это время  $T \approx 10 \text{ мксек}$ , что по порядку величины совпадает с временем жизни магнитного момента (см. рис.1). Таким образом модель ОШ удовлетворительно объясняет достаточно большой круг явлений.

Выражаем благодарность студенту-дипломнику Л.Коломийцеву за участие в эксперименте.

Физический институт  
им. П.Н.Лебедева  
Академии наук СССР

Поступило в редакцию  
30 декабря 1966 г.

### Литература

- [1] Ю.П.Райзер. УФН, 87, 29, 1965.
- [2] Ю.П.Райзера, Я.Б.Зельдович. Физика ударных волн и высокотемпературных гидродинамических явлений. Москва, 1966; "The Effect of Nuc. Weap.", апрель, 1962 (есть русский перевод).